



## ORIGINAL ARTICLE

Received: 2021/06/22

Accepted: 2021/07/07

## Evaluation of the Efficiency Adsorption Process with Zeolite@ in the Removal of Methylene Blue Dye from Aqueous Solutions

Negar Einollahzadeh(B.S.)<sup>1</sup>, Mehdi Vosoughi(Ph.D.)<sup>2</sup>

1. B.S. of Environmental Health Engineering, Students Research Committee, Ardabil University of Medical Sciences, Ardabil, Iran.

2. Corresponding Author: Assistant professor, Department of Environmental Health Engineering, School of Public Health, Ardabil University of Medical Sciences, Ardabil, Iran. Email: mvn\_20@yahoo.com Tel: 09120910243

### Abstract

**Introduction:** Dyes are materials with a complex structure that enter the environment from textile processes such as dyeing and washing. The aim of this study was to investigate the efficiency of the absorption process using Zeolite @ ZnO in removing methylene blue dye from textile wastewater.

**Methods:** The structure and morphology of nanoparticles were examined using XRF, FTIR and FESEM techniques. Dye concentrations were determined using a spectrophotometer at 664 nm. In this study, the variables of reaction time, solution pH, adsorbent amount, and dye concentration were evaluated. To determine the isotherm and adsorption kinetics, two isotherm models of Langmuir and Freundlich ,and two kinetics models pseudo-first order ,and pseudo-second order were used.

**Results:** It was found that optimal conditions were concentration of 50 mg/l, adsorbent dose of 1 g/l, pH of 11, and a reaction time of 60 minutes. The removal efficiency under optimal conditions for methylene blue was 95.8%.

**Conclusion:** The results of the isotherm and absorption kinetics study for methylene blue showed that the adsorption process follows the Langmuir isotherm and quasi-quadratic kinetics. The maximum adsorption capacity of the adsorbent was determined to be 384 mg/g using the Langmuir model.

**Keywords:** Methylene Blue, Adsorption, Zeolite@ZnO, Zeolite

**Conflict of interest:** The authors declared that there is no Conflict interest.



### This Paper Should be Cited as:

Author: Negar Einollahzadeh, Mehdi Vosoughi. Evaluation of the Efficiency Adsorption Process with Zeolite@ .....Tolooebehdasht Journal.2021;20(4):79-93.[Persian]



## بررسی کارایی فرایند جذب $\text{Zeolite@ZnO}$ در حذف رنگ متیلن بلو از محلول‌های آبی

نویسنده‌گان: نگار عین الله زاده<sup>۱</sup>، مهدی وثوقی<sup>۲</sup>

۱. دانشجوی کارشناسی مهندسی بهداشت محیط، کمیته تحقیقات دانشجویی، دانشگاه علوم پزشکی اردبیل، اردبیل، ایران

۲. نویسنده مسئول: استادیار گروه مهندسی بهداشت محیط، دانشکده بهداشت، دانشگاه علوم پزشکی اردبیل، اردبیل، ایران

Email: mvn\_20@yahoo.com

تلفن تماس: ۰۹۱۲۰۹۱۰۲۴۳

## طیوع بهداشت

### چکیده

**مقدمه:** رنگ‌ها موادی با ساختار پیچیده بوده که از طریق فرایند نساجی نظیر رنگرزی و شستشو، به محیط زیست وارد می‌شوند. این مطالعه با هدف بررسی کارایی فرایند جذب در حضور  $\text{Zeolite@ZnO}$  در حذف رنگ متیلن بلو از فاضلاب سینتیک نساجی انجام گرفت.

**روش بررسی:** ساختار و مر富豪زی نانوذره با استفاده از تکنیک‌های FESEM، XRF، FTIR بروزی شد. غلظت رنگ با استفاده از دستگاه اسپکتروفوتومتر در طول موج ۶۶۴ nm تعیین گردید. در این مطالعه متغیرهای زمان واکنش، pH محلول، دوز یا مقدار جاذب و غلظت رنگ مورد ارزیابی قرار گرفت. برای تعیین ایزوترم و سینتیک جذب از دو مدل ایزوترمی لانگمویر و فرونالدیچ و مدل‌های سینتیک شبه درجه اول و دوم استفاده گردید.

**یافته‌ها:** ما دریافتیم که شرایط بهینه غلظت ۵۰ میلی گرم بر لیتر، دوز جاذب ۱ گرم بر لیتر، pH برابر ۱۱ و زمان واکنش ۶۰ دقیقه بود و راندمان حذف در شرایط بهینه برای متیلن بلو ۹۵/۸٪ حاصل شد.

**نتیجه گیری:** نتایج حاصل از مطالعه ایزوترم و سینتیک جذب برای متیلن بلو نشان داد که فرآیند جذب از ایزوترم لانگمویر و سینتیک شبه درجه دوم تبعیت می‌کند. ظرفیت جذب بیشینه جاذب با استفاده از مدل لانگمویر برابر ۳۸۴/۶۲ میلی گرم بر گرم تعیین شد.

**واژه‌های کلیدی:** متیلن بلو، جذب سطحی، سنتز،  $\text{Zeolite@Zn}$ ، زئولیت.

دو ماهنامه علمی پژوهشی

دانشکده بهداشت یزد

سال بیستم

شماره: چهارم

مهر و آبان ۱۴۰۰

شماره مسلسل: ۸۸

تاریخ وصول: ۱۴۰۰/۰۴/۰۱

تاریخ پذیرش: ۱۴۰۰/۰۴/۱۶



## مقدمه

نساجی به داخل مجاري فاضلاب رو و يا در محيط، سبب تشكيل لاييه‌های لجن حاوي الایاف می‌گردد، وجود مواد رنگ‌زا، پاک‌کننده‌ها و چسب‌ها در فاضلاب نساجی به دليل قابلیت تجزیه‌پذیری بیولوژیکی بسیار کم آن‌ها، در عملیات تصفیه بیولوژیکی ایجاد اختلال می‌نماید. بعضی از این ترکیبات نمک‌هایی از مشتقات حلقه بنزن هستند که سلطان‌زا می‌باشند. نیتروژن و فسفر مواد رنگ‌زا نیز رشد جلبک‌ها را افزایش داده و مشکل اوتوفیکاسیون را در آب‌های پذیرنده موجب می‌گردد(۱۰-۱۱). متیلن بلو رایج ترین ترکیب رنگی مورد استفاده به منظور رنگ آمیزی پنبه، پشم و ابریشم است. استنشاق این ترکیب می‌تواند سبب اختلال در تنفس شده و مواجهه مستقیم با آن می‌تواند باعث بروز آسیب‌های دائمی به چشم های انسان و حیوانات، سوختگی‌های موضعی، تهوع و استفراغ، افزایش تعریق، اختلالات ذهنی و متهموگلوپینیما (Methmoglobin) شود(۱۲).

فرآیندهای مختلفی برای تصفیه فاضلاب‌های رنگی استفاده شده اند که در سه گروه اصلی: روش‌های فیزیکی و فرآیندهای شیمیایی و بیولوژیکی طبقه‌بندی می‌شود(۴،۱۳). جذب روى کربن فعال، ته نشینی، اکسیداسیون شیمیایی، تجزیه نوری و بیولوژیکی، کواگولاسیون متداول و الکتروکواگولاسیون به طور موقیت آمیزی برای تجزیه و تصفیه فاضلاب‌های رنگی به کار برده شده اند، البته هر یک از روش‌های ذکر شده معیب و محدودیت‌هایی دارند، جذب روى کربن فعال روشی گران و زمان بر است، که در نهایت راندمان متناسب با هزینه مصرف شده را متناسب با هزینه مصرف شده را ندارد، روش‌های اکسیداسیون با کلر و ازن منجر به به تولید محصولات جانبی

در جهان امروز، صنایع با چنان شتابی توسعه می‌یابند که اغلب تنها بعد اقتصادی آن‌ها در نظر گرفته شده و توجهی به پیامدهای زیست‌محیطی آن نمی‌شود. از جمله صنایعی که باید توجهی ویژه به تصفیه پساب‌های آن‌ها داشت، صنایع نساجی و رنگرزی هست. در فرایندهای صنایع نساجی انواع وسیعی از رنگ‌ها و مواد شیمیایی به مصرف می‌رسد که غالباً این مواد در فاضلاب این صنایع یافت می‌شوند(۱،۲)، توسعه سریع صنایع نساجی منجر به این شد که رنگ‌ها یکی از منابع اصلی آلودگی آب شوند، کشف رنگ‌های سنتیک، نقش رنگ‌های طبیعی در کاربردهای صنعتی را در هم شکست، چرا که رنگ‌های سنتیک کم هزینه تر تولید می‌شدند، درخشنان تر بودند، کاربرد راحتی داشته و نسبت به شرایط محیطی دوام بیشتری نشان داد اند(۳). از این رو امروزه رنگ‌های سنتیک یک گروه مشکل ساز از ترکیبات آلی مقاوم در گروه آلاینده‌های محیط زیست، به خصوص منابع آبی محسوب می‌شوند(۴-۶)، رنگ‌های سنتیک به طور گسترده‌ای در صنایع نساجی، کاغذسازی، چاپ و دیگر صنایع استفاده می‌شوند. رنگ‌ها گروه بزرگ و مهمی از آلاینده‌ها در اکوسیستم آبی به شمار می‌رود که بیش از ۷۰۰ هزار تن در سال تولید می‌شود(۷).

حضور رنگ‌های آلی در فاضلاب صنایع ذکر شده در صورت عدم تصفیه توسط یک سیستم مناسب باعث آلوده کردن منابع آب و کاهش کیفیت آب‌های سطحی و زیرزمینی می‌گردد. فاضلاب رنگی و سایر پساب‌های حاصل از این صنایع مشکلات متعددی از لحاظ بهره‌برداری در تصفیه‌خانه‌های فاضلاب به وجود می‌آورند به طوری که تخلیه مستقیم فاضلاب صنعت



مختلف و مشتقات آن ها، میکروارگانیسم هایی مانند باکتری، قارچ، جلبک، محمر می تواند به عنوان جایگزین برای سنتر نانوذرات مورد استفاده قرار گیرد (۱۷-۱۹).

در مطالعه سجاد لهراسبی و همکاران نانوذرات اکسید آهن (IONPs) با استفاده از عصاره آبی برگ پلاتانگو مأذور به عنوان یک روش ساده و سازگار با محیط زیست سنتر شد تا کارایی آن به عنوان نانو مواد حذف کننده رنگ مورد سنجش قرار گیرد که . نتایج نشان داد که قابلیت حذف رنگ با کارایی ۸۳/۳۳٪ در محلول حاوی IONP با  $H_2O_2$  وجود دارد (۲۰).

در مطالعه دیگر ، نانوذرات نقره با ترکیبات پلی فنولی فنولی از Malus domestica-Green Delicious (عصاره های آبی ) (LS) و Lagenaria siceraria (MD-GD) با نشاسته سنتر شد که این ترکیب کارایی حذف رنگ ها را نیز آسان می کند و می تواند در مقیاس صنعتی مورد استفاده قرار گیرد که از نظر اقتصادی مقرر بود (۲۱).

در مطالعه ای محمود ریفیق و همکارانش سنتر نانوذرات نقره Albizia procera (Ag-NPs) با استفاده از عصاره برگ صورت گرفت که پتانسیل امیدوار کننده ای در حذف رنگ آلاینده های آلی متین بلو (MB) نشان داده و هم چنین ، نانوذرات نقره Ag-NP فعالیت های ضد باکتریایی بر جسته ای را در برابر باکتری های گرم منفی اشرشیاکلی (*E. coli*) و استافیلوکوکوس اورئوس گرم (*S. aureus*) نشان دادند (۲۲).

از آن جایی که در مطالعات مختلف گزارشی مبنی بر عملکرد نانوذرات سنتر شده با استفاده از عصاره گیاهی و بارگذاری آن روی زئولیت منظور حذف رنگ متین بلو ارائه نشده است،

خطروناک می شوند روش هایی مانند شناور سازی و انعقاد هم فقط آلاینده را از فاز مایع جدا و در فاز جامد قرار می دهند (۴). به طور کلی حذف رنگ ها به دلیل پایداری آن ها در برابر تجزیه بیولوژیکی، وزن مولکولی بالا و داشتن حلقه های آروماتیک با روش های متداول بسیار مشکل است (۱۴). اخیراً، فیلوسیلیکات های طبیعی که به طور معمول به عنوان خاک رس شناخته می شوند در فرایندهای جذب بسیار مورد توجه قرار گرفته اند. در این گروه بتنوئیت به دلیل اندازه ذرات، سهولت دسترسی، توانایی تبادل یونی و خصوصیات منحصر به فرد فیزیکوشیمیابی به عنوان یک جاذب ارزان قیمت مطرح می باشد (۱۵). بتنوئیت عمده ای از مونت موریلوبنیت تشکیل شده است که دارای دولایه از ورقه های سیلیسی چهار وجهی می باشد که لایه آلومینای هشت وجهی را احاطه کرده اند. ساختار لایه ای آن ها پس از خیس شدن گسترش یافته و در آن سدیم و کلسیم به شدت دهیتراته می شوند و در نتیجه یک محیط آبدوست در سطح بتنوئیت تشکیل شده و با تشکیل کاتیون ها روی سطح بتنوئیت باعث افزایش سطح می گردد (۱۵).

مواد نانو دارای ویژگی های خاصی نظیر اندازه بسیار کوچک، نسبت سطح به نسبت حجم بالا که باعث افزایش جذب آلاینده ها از محیط های آبی می شود (۱۶). روش های بسیاری برای سنتر نانو ذرات وجود دارد. در اکثر روش های شیمیابی، از یک عامل کاهنده شیمیابی بعنوان ثبت کننده برای کنترل رشد ذرات و جلوگیری از تجمع استفاده می شود. به همین دلیل، امروزه سنتر نانو ذرات سازگار با محیط زیست رو به افزایش می باشد. یک روش جایگزین، سنتر نانو ذرات با استفاده از روش های بیولوژیک است. در این روش، عصاره های گیاهان



جاذب برای متیلن بلو پس از فرایند به ترتیب از طریق روابط

او۲ تعیین شدند(۲۱،۲۲)

$$\text{معادله ۱} \quad \frac{C_0 - C_t}{C_0} \times 100 = \text{راندمان حذف} (\%)$$

$$\text{معادله ۲} \quad \frac{(C_0 - C_t) \times V}{M} (\text{mg/g}) = \text{ظرفیت جذب}$$

که در آن  $C_0$  و  $C_t$  به ترتیب غلظت اولیه و نهایی متیلن بلو در

محلول بر حسب میلی گرم بر لیتر،  $V$  حجم محلول بر حسب لیتر و  $M$  جرم جاذب بر حسب گرم می‌باشد.

ASTM پس از تهیه زئولیت، با استفاده از الکتریکی استاندارد (۰/۱ mm) دانه بندی گردید. به منظور جداسازی ناخالصی‌های موجود، زئولیت دانه بندی شده چندین بار با آب مقطر شستشو داده شد و سپس به مدت ۲۴ ساعت در داخل آون در دمای ۷۰ درجه سانتی گراد خشک گردید (۲۳).

عصاره پوست انار به وسیله جوشاندن به مدت ۶۰ دقیقه آماده شد. سپس عصاره به دست آمده به وسیله پمپ خلاء فیلتر شد. به منظور سنتز نانوذرات، محلول  $\text{ZnCl}_2$  (جرم مولی: ۱۳۶/۳۱۵) گرم بر مول، چگالی: ۲/۹۰۷ (گرم بر سانتی متر مکعب) در سی سی آب مقطر تهیه و سپس محلول  $\text{ZnCl}_2$  به عصاره پوست انار در اضافه شد. ظهرور رسوب سفید رنگ نشان دهنده تشکیل نانوذرات اکسیدروی می‌باشد. بعد از آن نانوذرات در داخل آون به مدت ۲۴ ساعت در دمای ۷۰ درجه سانتی گراد خشک شد سپس برای کلسینه کردن، نانوذرات در کوره با دمای ۴۰۰ درجه سانتی گراد به مدت ۲ ساعت قرار داده شد (۱۷). پس از آماده سازی زئولیت و سنتز نانوذرات  $\text{ZnO}$ ، به نسبت وزنی ۱۰ به ۱ از زئولیت به  $\text{ZnO}$  را به ۲۰۰ میلی لیتر آب

ارزیابی کارایی آن در حذف رنگ متیلن بلو تحت تاثیر متغیرهای مختلف بر روی فرآیند از جمله pH، زمان واکنش، دوز جاذب و غلظت اولیه رنگ در محلول‌های سنتیک مورد مطالعه قرار گرفت. در نهایت سینتیک واکنش و ایزوترم جذب برای حذف رنگ تعیین شد.

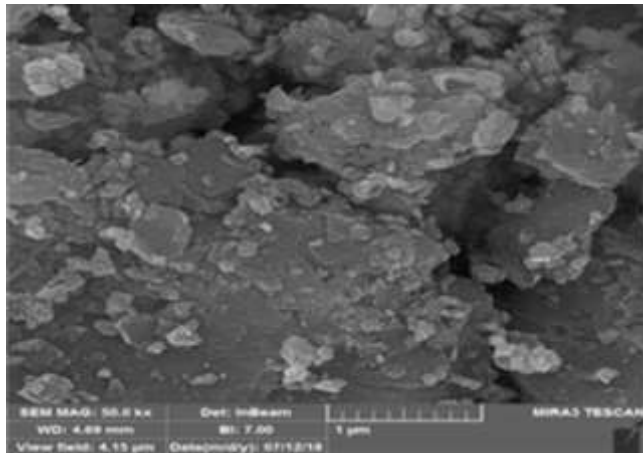
### روش بررسی

در این مطالعه که به صورت تجربی در آزمایشگاه شیمی محیط دانشکده بهداشت اردبیل انجام گرفت، تمامی آزمایش‌ها به صورت پایلوت در مقیاس آزمایشگاهی در ارلن های ۲۵۰ سی حاوی ۱۰۰ سی سی محلول و در شرایط دمای اتفاق (۲۵±۲۰°) انجام شد. رنگ متیلن بلو از شرکت الوان ثابت همدان و بقیه مواد از شرکت مرک تهیه شد. جرم مولکولی رنگ متیلن بلو (۳۱۹/۸ گرم بر مول)، طبقه بندی شیمیایی آن: (رنگ کاتیونی) و ساختار شیمیایی متیلن بلو  $\text{C}_{16}\text{H}_{18}\text{ClN}_3$  ( $\text{S}\cdot\text{H}_2\text{O}$ ) می‌باشد (۲۰).

آزمایشات جذب: این تحقیق به صورت ناپیوسته در ارلن ۲۵۰ سی به حجم ۱۰۰ سی سی محلول استفاده شد. متغیرهای مورد پژوهش شامل pH، زمان تماس، دوز  $\text{Zeolite@ZnO}$  و غلظت اولیه رنگ می‌باشد. برای تنظیم pH محلول از اسید سولفوریک و سدیم هیدروکسید ۰/۱ مولار استفاده شد. غلظت‌های مختلف رنگ متیلن بلو بر حسب میلی گرم بر لیتر توسط محلول مادر تهیه و استفاده شد. بعد از اتمام زمان واکنش از محلول نمونه برداری و در دور ۵۰۰۰ rpm سانتریفیوژ سپس با استفاده از فیلتر ۰/۲۲ میکرون، فیلتر گردید تا از جداسازی جاذب اطمینان حاصل گردد. راندمان حذف و مقدار جذب در واحد جرم



شکل ۱ نشان‌دهنده تصاویر گرفته شده توسط میکروسکوپ الکترونی روبشی از کامپوزیت قبل از فرایند جذب می‌باشد. همان‌طور که قابل مشاهده است، زئولیت دارای سطحی ناهموار و خلل و فرج بیشتری دارد.



شکل ۱. تصویر FESEM نمونه کامپوزیت Zeolite/ZnO نتایج حاصل از آنالیز XRF حضور سیلیکا و آلومینا به عنوان اجزای اصلی همراه با مقدار جزئی سدیم، منیزیم، پتاسیم، آهن و تیتانیم دی‌اکسید به عنوان ناخالصی در ترکیب زئولیت طبیعی را تائید می‌کند.

نمونه زئولیت مورد مطالعه با داشتن Si/Al بزرگ‌تر از ۴ از نوع کلینوپیتولایت است (۲۶). میزان CaO و نیز Na<sub>2</sub>O نشان‌دهنده حضور کلسیت و سدیم در بین لایه‌های زئولیت است. از طرفی، نتایج نشان می‌دهد که اکثراً آلومینیوم و سیلیس در قالب زئولیت است (۲۷). با توجه به آنالیز عنصری زئولیت میزان عناصر سیلیسیم اکسید، آلومینیوم اکسید، آهن اکسید کلسیم اکسید، سدیم اکسید، پتاسیم اکسید، تیتانیوم اکسید، منگنز اکسید، فسفر پتا اکسید به ترتیب برابر است: با:

مقطور اضافه کرده و به مدت ۱۵ دقیقه به صورت جداگانه در دستگاه التراسونیک عملیات همگن‌سازی صورت گرفت. سپس ZnO به محلول زئولیت اضافه شده و به مدت ۲ ساعت بر روی همزن مغناطیسی با سرعت ۳۰۰ دور در دقیقه قرار گرفت تا فرایند بارگذاری نانو ذرات بر روی زئولیت صورت بگیرد. کامپوزیت حاصله چندین بار با آب مقطور شستشو داده و در نهایت به مدت ۱۲ ساعت در دمای ۷۰ درجه سانتی‌گراد خشک گردید (۱۷).

ساختار سطحی جاذب توسط اسکن میکروسکوپی الکترون Field Emission Scanning Electron (FE-SEM) با بزرگ‌نمایی یکسان آنالیز شد. از تکنیک Fourier Transform Infrared Spectroscopy (FTIR) در گستره ۴۵۰–۴۰۰۰  $\text{Cm}^{-1}$  برای شناسایی گروه‌های عاملی موجود بر سطح کامپوزیت استفاده شد. برای تعیین فاز کریستال‌ها از پراش پرتوایکس (XRF) استفاده شد. حداقل طول موج جذب رنگ با استفاده از دستگاه اسپکتروفوتومتر DR ۵۰۰۰ ساخت آمریکا در محدوده طول موج ۶۶۴ نانومتر بدست آمد. این طرح با حمایت مادی کمیته تحقیقات دانشجویی به شماره طرح IR.ARUMS.REC.1398.332 در دانشگاه علوم پزشکی اردبیل انجام گردیده است.

### یافته‌ها

یکی از روش‌های متداولی که جهت شناسایی و تجزیه مواد مورد استفاده قرار می‌گیرد طیف‌سنجدی مادون‌قرمز است. نتایج حاصل از FTIR زئولیت و کامپوزیت Zeolite@ZnO در فرکانس ۴۰۰–۴۰۰۰  $\text{Cm}^{-1}$  نشان‌گر حضور تعدادی از گروه‌های عاملی فعال در سطوح جاذب می‌باشد.



به منظور بررسی تأثیر مقدار اولیه دوز جاذب با تغییر در مقدار جاذب ( $0/1$ ،  $0/25$ ،  $0/50$ ،  $0/75$ ،  $1/10$  گرم در لیتر) در pH برابر

۱۱ غلظت  $50$  میلی گرم در لیتر بعد از زمان تماس  $60$  دقیقه بررسی شد.

همان‌طور که از شکل مشخص شده است کارایی جذب رنگ متیلن بلو با افزایش مقدار اولیه جاذب زئولیت از  $1/1$  تا  $0/75$  گرم در لیتر از  $46/2$  به  $87/84$ ٪ افزایش و سپس با افزایش مقدار جاذب زئولیت به  $1$  گرم در لیتر کارایی به  $95.8$  رسیده و ثابت شده است. بنابراین مقدار دوز جاذب بهینه برای حذف رنگ متیلن بلو حدود  $1$  گرم در لیتر در نظر گرفته شد.

تأثیر غلظت اولیه رنگ متیلن بلو در زمان تعادل در کارایی فرایند: تأثیر غلظت اولیه رنگ متیلن بلو بر کارایی حذف فرایند جذب با تغییر در غلظت اولیه رنگ  $25$ ،  $50$ ،  $75$ ،  $100$  میلی گرم در لیتر در pH برابر  $11$  و دوز جاذب  $1$  گرم در لیتر بعد از زمان تماس  $60$  دقیقه بررسی شد (شکل ۲). در شکل ۲ نتایج حاصل از تأثیر غلظت اولیه رنگ بر کارایی فرایند جذب نشان داده شده است. همان‌طور که از شکل مشخص است کارایی حذف با افزایش غلظت اولیه رنگ کاهش یافت. به طوری که با افزایش غلظت رنگ از  $50$  تا  $100$  میلی گرم بر لیتر کارایی جذب از  $95/10$  به  $38/20$ ٪ کاهش یافته است.

تأثیر زمان تماس بروی کارایی جذب رنگ متیلن بلو: تأثیر زمان واکنش بر روی کارایی فرایند جذب با استفاده از  $\text{Zeolite@ZnO}$  با تغییر در زمان تماس واکنش از  $5$  تا  $90$  دقیقه در غلظت‌های مختلف  $25$ ،  $50$ ،  $75$ ،  $100$  میلی- گرم در لیتر با pH برابر  $11$  و دوز جاذب  $1$  گرم در لیتر بررسی شد. بررسی شکل ۲ نشان می‌دهد، با افزایش زمان تماس از  $5$  تا

$142$ ،  $201$ ،  $381$ ،  $551$ ،  $661$ ،  $142$ ،  $314$ ،  $128$ ،  $14$ ،  $65$ ،  $71$ ،  $10$ .

تجزیه و تحلیل BET بر اساس اندازه گیری گاز نیتروژن جذب شده و دفع شده توسط سطح ماده در دمای ثابت نیتروژن مایع (K 77) برای محاسبه حجم منافذ و مساحت سطح می‌باشد. این تجزیه و تحلیل توسط دستگاه BET انجام شده است. ایزوترم‌های جذب شده و دفع شده N<sub>2</sub> برای نانوکامپوزیت ایزوترم جذب از نوع IV پیروی کرده است. مساحت سطح خاص نانوکامپوزیت  $21/88$  متر مربع در گرم محاسبه می‌شود. هم چنین حجم کل منافذ در نانوکامپوزیت  $0/074$  متر مکعب بر گرم بوده و نشان دهنده میزان حجم منافذ در کامپوزیت است حداقل منافذ جاذب‌ها در محدوده  $13-14$  نانومتر بود که نشان دهنده ساختار میکروسکوپی است.

تأثیر مقدار اولیه pH محلول رنگی بروی کارایی جذب رنگ متیلن بلو با تغییر در pH های اولیه محلول برابر  $3$ ،  $5$ ،  $7$ ،  $9$  و  $11$  تحت شرایط ثابت در غلظت  $50$  میلی گرم در لیتر محلول رنگی بعد از زمان تماس  $60$  دقیقه و مقدار جاذب  $1$  گرم در لیتر بررسی شد. در شکل ۲ نتایج حاصل از تأثیر pH محلول رنگی بر کارایی جذب رنگ متیلن بلو نشان داده شده است. همان‌طوری که مشاهده می‌گردد با افزایش pH کارایی فرایند جذب افزایش یافته است. به طوری که با افزایش pH از  $3$  تا  $11$  کارایی جذب از  $72/43$  به  $52/81$ ٪ افزایش یافته است. بنابراین pH بهینه برای حذف رنگ متیلن بلو برابر  $11$  انتخاب شد. تأثیر دوز جاذب بر روی کارایی جذب رنگ متیلن بلو: در شکل ۲ تأثیر کارایی دوز جاذب  $\text{Zeolite@ZnO}$  در حذف رنگ متیلن بلو ارائه شده است.



لانگمویر پیروی می‌نماید. این یافته‌ها با نتایج حاصل از گزارش‌های ارائه شده کاملاً مطابقت دارد.

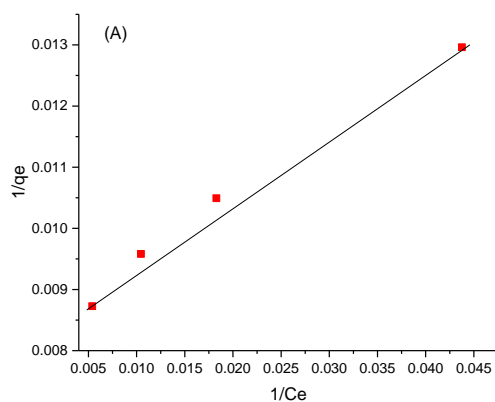
بررسی سینتیک فرایند: در این مطالعه سینتیک جذب شبه درجه اول و شبه درجه دوم در غلظت‌های مختلف تحت شرایط بهینه در زمان‌های مختلف برای فرآیند جذب رنگ متیلن بلو مورد بررسی قرار گرفت. معادله سینتیک شبه درجه اول و شبه درجه

دوم به صورت خطی در معادله ۵۰۶ ارایه شده است (۴۱).

$$\log(q_e - q_t) = \log q_e - \left( \frac{k_1 t}{2.303} \right) \quad (3)$$

$$\frac{t}{q_e} = \frac{1}{(k_2 q_e^2)} + \left( \frac{1}{q_e} \right) \quad (4)$$

در این معادله  $q_e$  و  $q_t$  به ترتیب ظرفیت جذب در حالت تعادل و زمان  $t$  و همچنین  $k_1$  و  $k_2$  ترتیب ضریب سرعت شبه درجه اول و دو می‌باشند. با توجه به نتایج حاصل از مطالعات سنتیکی در جدول ۲ می‌توان بیان کرد که فرایند جذب از مدل سینتیکی شبه درجه دوم با ضریب رگرسیون بالاتر نسبت به مدل سینتیکی شبه درجه اول تبعیت بیشتری دارد. مدل شبه درجه دوم بیانگر این است که قسمت اعظم جذب به صورت جذب شیمیایی انجام می‌گیرد که نتایج حاصل از سینتیک فرایند نیز این ادعا را تایید می‌کند (۴۱).

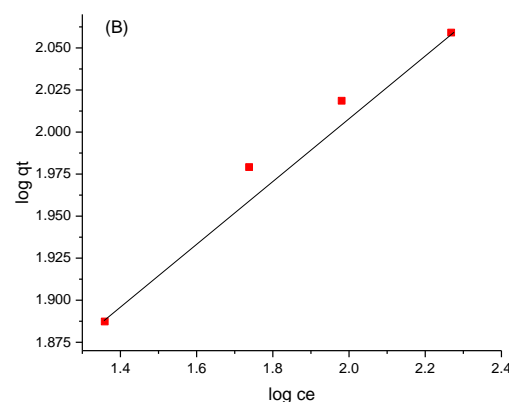


۶۰ دقیقه راندمان حذف افزایش و از ۶۰ تا ۹۰ راندمان حذف تقریباً ثابت می‌شود. بررسی ایزوترم فرایند جذب به منظور، ارزیابی اثر متقابل بین رنگ و جاذب از دو مدل لانگمویر و فروندلیچ استفاده شد. شکل خطی معادلات ایزوترمی لانگمویر و فروندلیچ بصورت زیر می‌باشد (۳۹).

$$\text{معادله } ۳ = \frac{1}{q_e} = \frac{1}{k_1 q_m c_e} + \frac{1}{q_m}$$

$$\text{معادله } ۴ = \log q_e = \log k_f + \frac{1}{n} \log c_e$$

در این معادله  $q_e$  مقدار ماده جذب شده در واحد جرم جاذب (میلی گرم بر گرم)،  $C_e$  غلظت تعادلی ماده جذب شونده در محلول بعد از فرایند جذب (میلی گرم در لیتر)،  $q_m$  نشان دهنده ظرفیت جذب و  $k_f$ ،  $k_1$  و  $n$  به ترتیب بیان گر ثابت لانگمویر، فروندلیچ و شدت جذب سطحی هستند. در مدل ایزوترمی لانگمویر، فرض بر این است که فرایند جذب به صورت همگن و تک لایه بر روی جاذب اتفاق می‌افتد، اما در ایزوترم مدل فروندلیچ، یک سطح ناهمگن و غیر یکنواخت از گرمای جذب در روی سطح فرایند، جذب را انجام می‌دهد. نتایج در شکل ۳ و جدول ۱ قابل مشاهده است، جذب رنگ متیلن بلو با استفاده از جاذب زئولیت با ضریب رگرسیون ۰.۹۹۷۲ از مدل ایزوترم



شکل ۲: مدل ایزوترم لانگمویر (A) و فروندلیچ (B) جذب رنگ متیلن بلو با استفاده از کامپوزیت



جدول ۱: پارامترهای مدل ایزوتروم لانگمویر و فروندلیچ در غلظت‌های مختلف

| ایزوتروم لانگمویر |                |                       |                       | ایزوتروم فروندلیچ               |      |                |  | رنگ متیلن بلو |
|-------------------|----------------|-----------------------|-----------------------|---------------------------------|------|----------------|--|---------------|
| R <sub>L</sub>    | R <sup>2</sup> | K <sub>I</sub> (L/mg) | q <sub>m</sub> (mg/g) | Kf( mg/g(1/mg) <sup>1/n</sup> ) | n    | R <sup>2</sup> |  |               |
| ۰/۲۲              | ۰/۹۹۷۲         | ۰/۰۳۵۶                | ۳۸۴/۶۲                | ۸۸/۲۱                           | ۳/۸۵ | ۰/۹۸۳۹         |  |               |

جدول ۲: متغیرهای محاسبه شده برای مدل‌های سینتیک شبه درجه اول و شبه درجه

| R <sup>2</sup> | شبه درجه دوم                             |  |                             | شبه درجه اول                        |  |   | غلظت رنگ<br>(میلی گرم بر لیتر) |    |
|----------------|--|--|-----------------------------|-------------------------------------|--|---|--------------------------------|----|
|                | K <sub>2</sub><br>(میلی گرم<br>بر دقیقه) | q <sub>2,cal</sub><br>(میلی گرم<br>بر گرم) | R <sup>2</sup> <sub>1</sub> | K <sub>1</sub><br>(یک گرم بر دقیقه) | q <sub>1,cal</sub><br>(میلی گرم<br>بر گرم) | q <sub>e,epx</sub><br>(میلی گرم بر گرم) |                                |    |
|                | ۰/۹۹۸۵                                   | ۰/۰۲۳۲                                     | ۲۵/۵۱                       | ۰/۶۳۱۴                              | ۰/۰۲۶۹                                     | ۹/۶۶                                    | ۵/۲۶                           | ۲۵ |
| ۰/۹۶۷۵         | ۰/۰۰۲۹                                   | ۲۶/۵۲                                      | ۰/۸۶۶۹                      | ۰/۰۳۹۴                              | ۳۰/۴۷                                      | ۵۰                                      | ۵۰                             |    |
| ۰/۹۸۶۱         | ۰/۰۰۱۲                                   | ۷۵/۱۹                                      | ۰/۹۰۹۷                      | ۰/۰۲۸۸                              | ۵۴/۶۱                                      | ۷۲/۲۵                                   | ۷۵                             |    |
| ۰/۹۴۱          | ۰/۰۰۰۷                                   | ۹۳/۴۶                                      | ۰/۹۲۲۹                      | ۰/۰۲۴۹                              | ۷۴/۴۲                                      | ۸۹/۲۵                                   | ۱۰۰                            |    |

ZnO در سطح زئولیت را تأیید می‌کند (۲۴). در آنالیز

FESEM کامپوزیت Zeolit@ZnO مشاهده می‌شود که تعدادی از نانو ذرات ZnO تمایل به ترکیب شدن با زئولیت رادارند و تجمع خوش‌های شکل در بین آنها مشهود است. ذرات سفیدی که بر روی زئولیت نشان داده شده‌اند، نشان‌دهنده‌ی حضور ZnO در سطح این کامپوزیت می‌باشد. سطوح خشن و ناهموار نانو ذرات ZnO سایت‌های جذب زئولیت را افزایش می‌دهد.

pH محلول به عنوان یک پارامتر مهم در طی فرایند جذب رنگ مطرح می‌باشد که می‌تواند بر بار سطحی جاذب، درجه یونیزاسیون آلاینده‌های مختلف، تفکیک گروه‌های کاربردی بر روی سایت‌های فعال جاذب و نیز ساختار مولکول رنگ

## بحث و نتیجه گیری

آنالیز FTIR نشان می‌دهد که جایگاه Cm<sup>-1</sup> ۳۶۰۰ تا ۳۲۰۰ در زئولیت و کامپوزیت مربوط به ارتعاشات کششی مشترک بین O—H و N—H می‌باشد، و جایگاه ۳۲۰۰–۳۵۰۰ با پیک ۳۴۳۶Cm<sup>-1</sup> در زئولیت و کامپوزیت مربوط به ارتعاشات کششی باند O—H در مولکول آب می‌باشد (۲۴). پیک مشاهده در باند ۱۰۵۵ مربوط به ارتعاش Si—Al—O—Si می‌باشد (۲۵) و پیک‌هایی که در طیف‌های ۴۰۰ تا ۸۵۰ وجود دارد مربوط به O—Al—O و Al—O—Si می‌باشد. پیک بین ۳۶۰۰ تا ۴۰۰۰ با پیک ۳۶۱۶ مربوط به باند O—H ناشی از گروه‌های SiO<sub>2</sub> می‌باشد. علاوه بر این، حداقل پیک جذبی در ۵۰۶ Cm<sup>-1</sup> نشان‌دهنده ساختار Zn—O در ZnO که پوشش موفقیت‌آمیز نانو ذرات



جذب سطحی جاذب‌ها به میزان زیادی در مقادیر pH پائین کاهش می‌یابد. زمانی که pH محلول افزایش می‌یابد، تعداد سایت‌های در دسترس با بار مثبت کاهش یافته که این امر به مفهوم آن است که تعداد سایت‌های باردار منفی افزایش می‌یابد. همان‌طور که سطح جاذب‌ها بار منفی بیشتری را به خود می‌گیرند، کنش و واکنش بین جاذب‌ها و مولکول‌های رنگی کاتیونی نیز افزایش می‌یابد. بنابرین ظرفیت جذب سطحی جاذب‌ها با افزایش مقدار pH افزایش می‌یابد (۳۴).

دوز جاذب یکی از پارامترهای مهم و تاثیرگذار در فرایند جذب بوده و از این رو تعیین کننده ظرفیت جاذب برای یک غلظت اولیه معین از رنگ متیلن بلو است. همان‌طور که شکل ۲ نشان می‌دهد، در صد حذف رنگ با افزایش مقدار جاذب از ۰/۱ تا ۱ گرم، از ۹۵/۸٪ تا ۴۶/۲٪ افزایش می‌یابد، سرعت جذب در ابتدا بسیار بالا است سپس این افزایش با سرعت کمتری ادامه می‌یابد.

با افزایش غلظت جاذب راندمان افزایش یافته است و از سوی دیگر مقدار رنگ جذب شده با افزایش دوز جاذب کاهش یافته است.

این نتیجه بر اساس این حقیقت قابل تفسیر است که با افزایش دوز جاذب تعداد سایت‌های در دسترس برای جذب افزایش می‌یابد و سایت‌های جذب در طی فرایند جذب به صورت اشبع نشده باقی می‌مانند. حداکثر راندمان جذب رنگ متیلن بلو بر روی زئولیت برابر با ۵۰ میلی گرم در لیتر در دوز جاذب ۱ گرم بر لیتر حاصل شد. با این وجود، با افزایش بیشتر دوز جاذب، افزایش چشمگیری در راندمان حذف رنگ مشاهده نشد. نتایج مطالعات دیگری از یافته‌های این مطالعه تبعیت

اثرگذار باشد. pH محلول، شیمی محیط آب و پیوند‌های سطح جاذب را تحت تاثیر قرار می‌دهد (۲۸). یافته‌های حاصل از آزمایشات نشان داد که با تغییرات در میزان pH از ۳ تا ۱۱، کارایی فرایند افزایش می‌یابد. به طوری که در pH برابر ۱۱ بالاترین راندمان (۸۱/۵۲٪) را دارد (شکل ۲)، این را می‌توان با در نظر گرفتن کشش الکترواستاتیکی موجود بین شارهای منفی سطح گسترده‌ای از جاذب توضیح داد که منجر به جذب رنگ کاتیونی متیلن بلو می‌شود. به عبارت دیگر با افزایش pH سطح یون  $\text{H}^+$  موجود در محلول کاهش هم چنین  $\text{OH}^-$  افزایش خواهد یافت و به موجب آن میزان یون‌های مثبت بر روی سطح جاذب افزایش می‌یابد.

این نتایج با یافته‌های ارائه شده توسط سایر محققین همخوانی دارد (۲۹، ۳۱). همچنین در مطالعه دیگری که توسط Pavan و همکاران انجام شد نیز مشاهده گردید که با افزایش pH تا حدود ۱۲ راندمان فرایند تا ۹۶٪ افزایش می‌یابد (۳۲).

در مطالعه‌الزایden مشاهده شد که جذب در pH برابر ۸-۱۰ بالا بوده است و بالاترین جذب در pH برابر ۸ که برابر با ۹۷٪ بود، مشاهده شد. گزارش شده است که واکنش جاذب با رنگ‌های کاتیونی عمده‌تا از طریق کنش و واکنش‌های صورت گرفته بین باند‌های هیدروژن و نیروی واندروالسی است (۳۳). در مقادیر پائین pH محلول، غلظت بالای یون‌های هیدروژن سبب ترغیب پروتون دهنده گروه‌های عاملی شده و از این رو جاذب بار مثبت بیشتری را در خود جای داده که این امر مانع از جذب رنگ‌های کاتیونی بر روی جاذب می‌شود. به عبارت دیگر، یون‌های هیدروژن اضافی، با مولکول‌های رنگ کاتیونی برای جذب بر روی سایت‌های فعال رقابت می‌کند. بنابرین ظرفیت



این پدیده ناشی از این حقیقت است که در ابتدا و مراحل اولیه جذب شمار زیادی از سایت‌های سطحی خالی برای انجام جذب در دسترس بوده اما با گذشت زمان، تعداد این سایت‌ها کاهش یافته و جذب با سرعت کمتری اتفاق می‌افتد (۳۱).

از نتایج مطالعه‌ی حاضر چنین نتیجه گیری می‌شود که حذف رنگ متیلن بلو از محلول‌های آبی مورد استفاده قرار بگیرد در صد حذف رنگ تابع مقدار غلظت اولیه‌ی رنگ و زمان تماس بین رنگ و جاذب، pH می‌باشد. هم چنین این جاذب قادر به حذف حدود ۹۵/۸٪ رنگ متیلن بلو از محلول‌هایی با غلظت اولیه‌ی رنگ متیلن بلو در گستره‌ی ۵-۳۰۰ میلی گرم در لیتر) می‌باشد.

جذب رنگ متیلن بلو بر روی Zeolite@ZnO توسط ایزوترم های جذب لانگمیر و فروندلیچ توصیف شد که بیانگر تطابق بهتر ایزوترم جذب لانگمیر با داده‌های حاصل از مطالعه‌ی حاضر است.

جذب رنگ از محلول‌های آبی در غلظت‌های پایین رنگ تحت تاثیر جذب بر سایت‌های سطحی جاذب جامد بوده و حال آنکه در غلظت‌های رنگ بالا جذب در سطح و تبادل داخلی هر دو به وقوع می‌پیوندد.

در پایان بر اساس نتایج حاصل از مطالعه‌ی حاضر می‌توان نتیجه گیری نمود که Zeolite@ZnO ظرفیت بالایی در جذب رنگ متیلن بلو از محیط‌های آبی برخوردار بوده و لذا می‌تواند به عنوان یک راهکار عملی جهت حذف این نوع رنگ از پساب‌های صنعت نساجی که از این نوع رنگ استفاده می‌نمایند، مورد استفاده قرار گیرد.

می‌کند (۳۴، ۳۵). نتایج تاثیر غلظت‌های اولیه رنگ متیلن بلو بر راندمان حذف، نشان داد که با افزایش غلظت رنگ زای تولیه، میزان حذف رنگ ابتدا افزایش و به تدریج کاهش یافت. ابتدا در شرایط ثابت (مقدار جاذب و زمان تماس ثابت) با افزایش غلظت رنگ راندمان فرایند نیز کاهش می‌یابد.

این موضوع ممکن است ناشی از این حقیقت باشد که در غلظت‌های کم ماده رنگ زا، مولکول‌های ماده رنگی به سرعت رو سطح جاذب، جذب شده و با افزایش در غلظت اولیه رنگ، سطح جاذب در زمان کوتاه اشباع شده و به دلیل دافعه ایجاد شده بین مولکول‌های رنگ زا میزان جذب را کاهش می‌یابد. در واقع جاذب‌ها دارای یک تعداد محل‌های فعال محدود می‌باشند که در غلظت‌های بالا اشباع می‌شود (۳۶، ۳۷).

در مطالعه شیرزاد سینی و همکارانش حذف رنگ راکتیو بلک توسط مهره‌های مغناطیس آلتینات سدیم سنتز شده، نشان داد با افزایش غلظت رنگ راندمان حذف کاهش می‌یابد. در مطالعه دیگر نشان داده شده است که در فرایند جذب رنگ سبز مالاشیت بر روی خاک اره با افزایش غلظت رنگ راندمان حذف کاهش می‌یابد (۳۸-۴۰).

زمان تماس واکنش، دیگر پارامتر موثر در تعیین عملکرد فرایند می‌باشد. بر همین اساس نتایج حاصل از سنجش این پارامتر نشان داد (شکل ۲) که با گذشت زمان مقدار رنگ باقی مانده در محلول کاهش و مقدار رنگ جذب شده افزایش می‌یابد. نرخ حذف آلاینده (جذب شده) در ابتدا سریع بوده، اما به تدریج با گذشت زمان کاهش یافته تا اینکه در زمان تماس ۶۰ دقیقه، به حالت تعادل می‌رسد.



## تضاد منافع

## تشکر و قدردانی

نویسنده‌گان مقاله تعهد می‌نمایند هیچ گونه تضاد منافعی وجود ندارد.

بدین وسیله از حمایت معاونت پژوهشی و کمیته تحقیقات دانشجویی کمال تشکر و قدردانی را داریم.

**Reference**

- 1-Daneshvar N , Salari D , Khataee A . Photocatalytic degradation of azo dye acid red 14 photo in water an ZnO as an altemative catalyst to TiO<sub>2</sub>. Journal of photochemistry and photobiology. 2004; 162(2-3): 317-22.[Persian]
- 2-Maleki A,Shahmoradi B,rezaei R. Baseline performance combined with hydrogen peroxide and titanium dioxide photochemical method for the removal of Acid Red 18. Journal of kurdistan University of Medical Sciences.2011;101-8. [Persian]
- 3-Ngah WW, Teong LC, Hanafiah MM. Adsorption of dyes and heavy metal ions by chitosan composites. Carbohyd Polym.2011;83:1446–56.
- 4-Karimi A , Mahdizadeh F, Eskandarian M. Enzymatic in-situ generation of H<sub>2</sub>O<sub>2</sub> for decolorization of Acid Blue 113 by fenton process. Chemical Industry and Chemical Engineering Quarterly/CICEQ .2012;18(1):89-94.[Persian]
- 5-Ghodbane H, Hamdaoui O. Intensification of sonochemical decolorization of anthraquinonic dye Acid Blue 25 using carbon tetrachloride. Ultrasonics Sonochemistry.2009 ;16(4):455-61.
- 6-Li M, Li JT, Sun HW. Sonochemical decolorization of acid black 210 in the presence of exfoliated graphite,Ultrasonics Sonochemistry.2008 ;15(1):37-42.
- 7-Peng X, Hu X, Fu D,et al. Adsorption removal of acid black 1 from aqueous solution using ordered mesoporous carbon. Applied surface science.2014;294:71-80.
- 8-Falah H. Comparison between solar and artificial photocatalytic decolorization of textile industrial wastewater. International Journal of Photoenergy.2012.[Persian]
- 9-Taran M,Sharifi M, Bagheri S. Utilization of textile wastewater as carbon source by newly isolated Haloarcula sp. IRU1: optimization of conditions by Taguchi methodology. Clean Technologies and Environmental Policy.2011; 13(3): 535-8. [Persian]
- 10-Shah MP. Microbial degradation of textile dye (Remazol Black B) by Bacillus spp. ETL-2012. Journal of Bioremediation and Biodegradation.2013;4(2) :6-11
- 11-Rafatullah M, Sulaiman O, Hashim R, et al. Adsorption of methylene blue on low-cost adsorbents: a review. Journal of hazardous materials.2010; 177(1-3): 70-80.



- 12-Ponnusami V, Madhuram R, Krithika V, et al. Effects of process variables on kinetics of methylene blue sorption onto untreated guava (*Psidium guajava*) leaf powder: Statistical analysis. *Chemical Engineering Journal*.2008;140(1-3): 609-13.
- 13-Parsa JB, Vahidian HR, Soleymani AR, et al. Removal of Acid Brown 14 in aqueous media by electrocoagulation: Optimization parameters and minimizing of energy consumption. *Desalination*.2011;278(1): 295-302.[Persian]
- 14-Martínez SS, Uribe EV. Enhanced sonochemical degradation of azure B dye by the electroFenton process. *Ultrasonics sonochemistry*.2012; 19(1):174-8.
- 15-Hu QH, Qiao SZ, Haghseresht F,et al. Adsorption Study for Removal of Basic Red Dye Using Bentonite. *Industrial & Engineering Chemistry Research*.2006; 45(2):733-8.
- 16- Ghaedi M, Ghayedi M, Kokhdan SN, et al. Palladium, silver, and zinc oxide nanoparticles loaded on activated carbon as adsorbent for removal of bromophenol red from aqueous solution. *Journal of Industrial and Engineering Chemistry*.2013;19(4):1209-17. [Persian]
- 17-Fazlzadeh M, Khosravi R, Zarei A. Green synthesis of zinc oxide nanoparticles using Peganum harmala seed extract, and loaded on Peganum harmala seed powdered activated carbon as new adsorbent for removal of Cr (VI) from aqueous solution. *Ecological Engineering*.2017;103: 180-90. [Persian]
- 18- Ramezani F, Kazemi B, Jebali A.Biosynthesis of silver nanoparticles by Leishmania sp. New *Cellular & Molecular Biotechnology journal*.2013; 3(9): 107-11. [Persian]
- 19- Santhoshkumar J, Kumar SV, Rajeshkumar S. Synthesis of zinc oxide nanoparticles using plant leaf extract against urinary tract infection pathogen. *Resource-Efficient Technologies*.2017; 3(4): 459-65.
- 20- Lohrasbi S, Kouhbanani MA, Beheshtkhoo N,et al .Green synthesis of iron nanoparticles using plantago major leaf extract and their application as a catalyst for the decolorization of azo dye. *Bio Nano Science*.2019 ;9(2): 317-22.[Persian]
- 21-Muzaffar S, Tahir H. Enhanced synthesis of silver nanoparticles by combination of plants extract and starch for the removal of cationic dye from simulated waste water using response surface methodology. *Journal of Molecular Liquids*.2018; 252: 368-82. [Persian]



- 22- Rafique M, Sadaf I, Tahir MB, et al. Novel and facile synthesis of silver nanoparticles using *Albizia procera* leaf extract for dye degradation and antibacterial applications. *Materials Science and Engineering: C*.2019; 99:1313-24.
- 23- Ma J, Yu F, Zhou L, Jin L, Yang M, Luan J, Tang Y, Fan H, Yuan Z, Chen J. Enhanced adsorptive removal of methyl orange and methylene blue from aqueous solution by alkali-activated multiwalled carbon nanotubes. *ACS applied materials & interfaces*.2012 ;4(11):5749-60.
- 24-Rashtbari Y, Hazrati S, Afshin S, et al. Data on cephalexin removal using powdered activated carbon (PPAC) derived from pomegranate peel. *Data in brief*.2018;20:1434-39. [Persian]
- 25- Afshin S, Mokhtari SA, Vosoughi M, et al. Data of adsorption of Basic Blue 41 dye from aqueous solutions by activated carbon prepared from filamentous algae. *Data in brief*.2018; 21:1008-13.[ Persian]
- 26-Maleki A, Mahvi AH, Rezaee R, et al. Removal of reactive blue 19 using natural and modified zeolites. *Iranian Journal of Health and Environment*.2013; 5(4):519-30.[Persian]
- 27-Kuzniarska-Biernacka I , Fonseca AM , Neves IC. Manganese complexes with triazenido ligands encapsulated in NaY zeolite as heterogeneous catalysts. *Inorganica Chimica Acta*.2013; 394: 591-7.
- 28- Gong R, Zhu S, Zhang D, et al. Adsorption behavior of cationic dyes on citric acid esterifying wheat straw: kinetic and thermodynamic profile. *Desalination*.2008 ; 230(1-3): 220-8.
- 29 Ai L, Zhang C, Liao F,et al. Removal of methylene blue from aqueous solution with magnetite loaded multi-wall carbon nanotube: kinetic, isotherm and mechanism analysis. *Journal of hazardous materials*.2011;198:282-90.
- 30-Anbia M , Hariri S A . Removal of methylene blue from aqueous solution using nanoporous SBA-3. *Desalination*.2010;261(1-2):61-66.
- 31-Yu S, Liu M, Ma M, et al. Impacts of membrane properties on reactive dye removal from dye/salt mixtures by asymmetric cellulose acetate and composite polyamide nanofiltration membranes. *Journal of Membrane Science*.2010; 350(1-2):83-91.
- 32-Pavan FA, Mazzocato AC, Gushikem Y. Removal of methylene blue dye from aqueous solutions by adsorption using yellow passion fruit peel as adsorbent. *Bioresource technology*.2008; 99(8):3162-5.



- 33-ALzaydien A. Adsorption of methylene blue from aqueous solution onto a low-cost natural Jordanian Tripoli. American Journal of Applied Sciences.2009;6(6): 1047.
- 34-Allegre C, Moulin P, Maisseu M, et al. Treatment and reuse of reactive dyeing effluents. Journal of Membrane Science.2006;269(1-2):15-34.
- 35-Nevine Kamal A. Removal of reactive dye from aqueous solutions by adsorption onto activated carbons prepared from sugarcane bagasse pith. Desalination.2008 ; 223(1-3):152-61.[Persian]
- 36- Cengiz S, Cavas L. Removal of methylene blue by invasive marine seaweed: *Caulerpa racemosa* var. *cylindracea*. Bioresource Technology2008; 99(7): 2357-2363.
- 37- Gil A, Assis FC, Albeniz S, et al. Removal of dyes from wastewaters by adsorption on pillared clays. Chemical Engineering Journal.2011;168(3):1032-40.
- 38-Kushwaha , Kumar A, Gupta N, et al. Removal of cationic methylene blue and malachite green dyes from aqueous solution by waste materials of *Daucus carota*. Journal of Saudi Chemical Society.2014; 18(3):200-7.
- 39- Shokohi, Purfarzi, SHirzad sibni ,et al. Removal of Reactive Black 5 (RB5) dye from aquatic solution by using of adsorption onto synthesized sodium alginate magnetic beads.2011;4(1):1-10.[Persian]
- 40-Khattri SD, Singh MK. Removal of malachite green from dye wastewater using neem sawdust by adsorption. Journal of hazardous materials.2009;167(1-3):1089-94.
- 41-Biglari H, RodriguezCouto S, Omidi Khaniabadi Y, Nourmorad H ,et al. Cationic surfactant-modified clay as an adsorbent for the removal of synthetic dyes from aqueous solutions. International journal of chemical reactor engineering.2018;16(5):1044-48.[Persian]
- 42-Golestanifar H, Asadi A, Alinezhad A, et al. Isotherm and kinetic studies on the adsorption of nitrate onto nanoalumina and iron-modified pumice. Desalination and Water Treatment.2016; 57(12): 5480-87.[Persian]